

PALINOMORFOS RETRABAJADOS EN EL CARBONÍFERO TARDÍO DE LA CUENCA TARIJA (ARGENTINA) Y SU APLICACIÓN A LA DATACIÓN DE EVENTOS DIASTRÓFICOS

REWORKED PALYNO-MORPHS IN THE UPPER CARBONIFEROUS OF THE TARIJA BASIN (ARGENTINA) AND THEIR APPLICATION IN DATING OF DIASTROPHIC EVENTS

Mercedes di PASQUO¹
Carlos L. AZCUY¹

Resumen: El análisis obtenido de la información palinológica, especialmente en el sector argentino de la Cuenca Tarija, indica que el material redepositado en las capas del Carbonífero Superior incluye no solamente elementos del Devónico Medio - Tardío (Givetiano=Famenniano) sino también del Devónico cuspidal (=Struniano) y del Carbonífero Temprano (=Tournaisiano). Esto permite asegurar, por lo menos en las localidades de esta cuenca donde se han realizado los estudios palinológicos, que a las espesas sucesiones devónicas les siguió la deposición de capas que alcanzaron hasta la parte baja del Carbonífero Inferior (=Tournaisiano). El análisis y discusión de las evidencias palinológicas y geológicas provenientes de capas del Devónico cuspidal - Carbonífero basal de la Cuenca Tarija (sectores argentino y boliviano), permiten reinterpretar la ubicación cronológica de los movimientos de la fase Chánica: uno inicial al final del Struniano, y otro final, en el tope del Tournaisiano. Las Formaciones Saipurú, Retama y Cumana presentes en Bolivia, se reubican por encima de la discordancia originada por los movimientos iniciales de la Fase Chánica y son atribuidas exclusivamente al Carbonífero Inferior. En la parte argentina de la cuenca, la falta de depósitos de esta edad sólo permite reconocer la existencia de los movimientos iniciales de la fase Chánica.

Palabras clave: Palinomorfos Retrabajados, Devónico y Carbonífero, Fase Chánica, Ubicación Cronológica, Cuenca Tarija.

Abstract: Palynological data obtained from Argentinian region of Tarija Basin, point out that the reworked material in beds of the Upper Carboniferous, includes not only Middle-Upper Devonian (=Givetian-Famennian) elements, but also from Uppermost Devonian (=Strunian) and Lower Carboniferous (=Tournaisian). These evidences enable us to assure, at least in the localities of this basin where palynological studies have been carried out, that the devonian sedimentation reached the limit with the Carboniferous and also occurred in the Lower Carboniferous (=Tournaisian). The analysis and discussion of some palynological and geological evidences which belong to Uppermost Devonian - Lower Carboniferous sections from Tarija basin (Argentina and Bolivia), allow us to reinterpret the chronological location of the movements of the Chanic phase: an initial one at the end of the Strunian, and a final one, at the end of the Tournaisian. The Saipuru, Retama and Cumana Formations are relocated over the unconformity originated by the first movement (initial) of the Chanic phase and are attributed only to the Lower Carboniferous. In the Argentinian region of the Tarija basin, the lack of deposits of this age only allows the recognition of the initial movement of the Chanic phase.

Keywords: Reworked Palynomorphs, Devonian and Carboniferous, Chanic Phase, Chronologic Location, Tarija Basin.

INTRODUCCION

Los estudios paleopalinológicos han tenido un crecimiento geométrico en los últimos 50 años (Jansonius & McGregor 1996), en tanto que las investigaciones específicas

1 - CONICET y UBA, Facultad de Ciencias Exactas y Naturales
- Departamento de Geología, Pabellón 2 - Ciudad Universitaria,
(1428) Buenos Aires - Argentina - e-mail: medipa@aspapa.org.ar
- Fax: 541-638-1822.

publicadas sobre asociaciones de palinomorfos redepositados son notablemente menores. Sin embargo, el número de casos de palinomorfos retrabajados es alto (Windle 1979) y su reconocimiento resulta mayormente significativo cuando se lo aplica o vincula a la solución de problemas concretos como son el reconocimiento de la procedencia de los depósitos (Bless & Steel 1976), o el tipo de paleoambiente sedimentario (Lima 1984), o la reinterpretación de la antigüedad de paquetes de estratos (Lele 1964; Azcuy & Laffitte 1981, Lima 1984), o la identificación de ciclos depositacionales (Eshet *et al.* 1988, Habib *et al.* 1994), o cambios en el nivel del mar (Gregory & Hart 1992, Souza & Petri en prensa), o como en el caso que nos ocupa, la datación de discordancias. Si bien el redepósito puede consistir en la aparición de escasos especímenes (Souza & Petri en prensa) o de toda una asociación alóctona más antigua en los mismos niveles estratigráficos portadores de otra asociación de menor edad (Lima 1984), la evidencia de esta mezcla de palinomorfos puede presentar muy diferentes grados de dificultad para ser detectada. Un ejemplo clásico es el de Potonié & Sah (1960), quienes al no advertir que se trataba de granos de polen del Pérmico Temprano redepositados en sedimentitas terciarias, crearon con ese material un nuevo género, *Cannanoropollis*.

De la extensa gama de criterios a tener en cuenta en el reconocimiento de material retrabajado como las diferencias de preservación, color o edad (Stanley 1966), el diferente grado de madurez de la materia orgánica (Senftle & Landis 1991), y otros a veces más difíciles de ponderar, sólo dos han sido decisivos en este trabajo: la cuidadosa asignación sistemática específica y la edad (más concensuada) de las especies reconocidas. Un tercer criterio también considerado han sido las afinidades paleoecológicas de los palinomorfos de cada conjunto o asociación reconocida. Esto permitió evitar incoherencias en relación con el paleoambiente (e.g. marino vs. dulcídola, húmedo vs. semiárido).

Los depósitos del Carbonífero Tardío en la Cuenca Tarija se reúnen estratigráficamente en dos Grupos: Macharetí y Mandiyuti. Actualmente ambos son atribuidos al Carbonífero Superior sobre la base de datos escencialmente estratigráficos y palinológicos (Reyes 1972, Ayaviri 1972, Azcuy & Laffitte 1981, di Pasquo & Azcuy 1997). Sus afloramientos o depósitos de subsuelo se extienden en el sector argentino de esta cuenca, desde la región este de la Cordillera Oriental hasta la parte occidental de la Llanura Chaqueña (Mingramm *et al.* 1979, Starck *et al.* 1993 a). Las secciones estudiadas se localizan en las Sierras Subandinas, más precisamente en la sierra de Aguaragüe, a pocos kilómetros de la frontera con Bolivia (Figura 1).

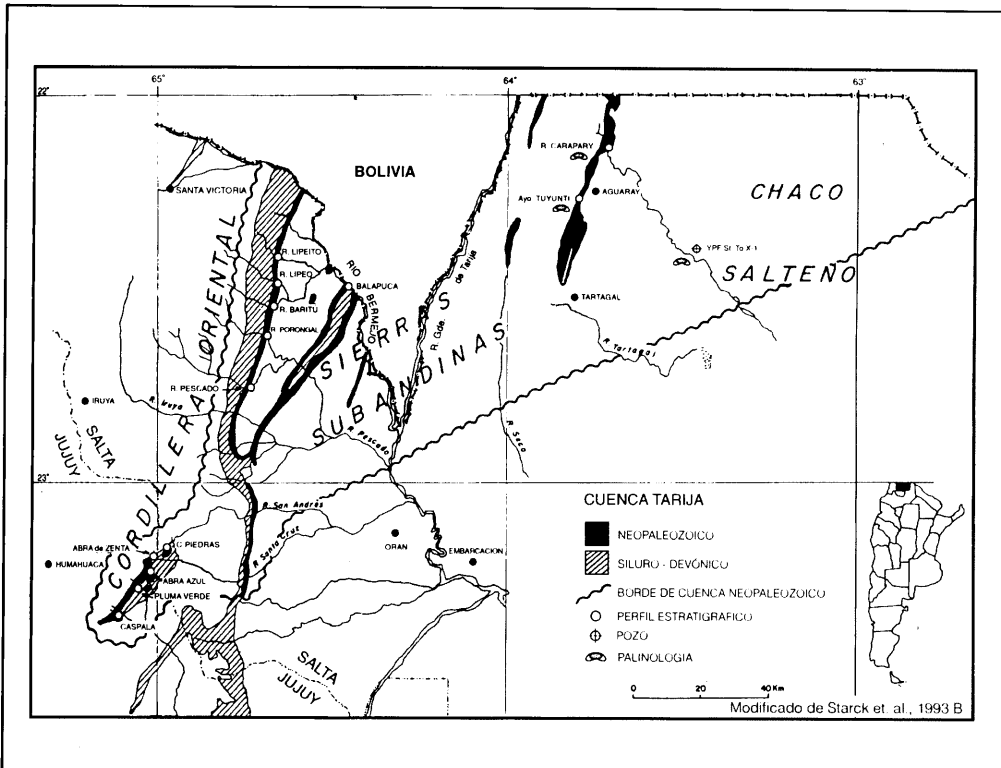


FIGURA 1 - Sector argentino de la Cuenca Tarija con indicación de las localidades con estudios palinológicos realizados por los autores.
FIGURE 1 - Location of the Tarija Basin (Argentina) with study fossiliferous sites by the authors.

PRESENTACION DE LOS DATOS

Características de los Palinomorfos Retrabajados

Dentro de las cuencas argentinas del Carbonífero Superior, la única que hasta ahora presenta evidencias notorias de abundante material palinológico redepositado es la Cuenca Tarija (Figura 3). Ella tiene su mayor desarrollo en Bolivia (Azcuy *et al.* 1984), pero es en el pequeño sector argentino que constituye su borde austral, donde se ha detectado abundante material del Devónico retrabajado en el Carbonífero Superior. En la parte boliviana de la cuenca, han sido mencionados palinomorfos redepositados en capas del Struniano y/o Tournaisiano (Formaciones Saipurú, Cumaná y Retama), sin discutir o interpretar su significado estratigráfico dentro de éstas.

Los estudios palinológicos del Carbonífero Tardío se realizaron en el área argentina de la Cuenca Tarija, que sirvieron de base a esta contribución, corresponden a unidades de los Grupos

Machareti (excluida parcialmente la Formación Tupamby) y Mandiyú. Los niveles muestreados provienen de las localidades arroyo Tuyuti y río Caraparí en las cuales afloran las Formaciones Tupamby-Tarija y Las Peñas-San Telmo respectivamente (véase Cuadro 2). Si ubicación geográfica y la de los perfiles estudiados se muestra en la Figura 1. Tanto las muestras de subsuelo estudiadas por Azcuy & Laffitte (1981) como las de superficie por di Pasquo & Azcuy (1991) y Azcuy & di Pasquo (en prensa), mostraron abundante material retrabajado. Una especial consideración del material alóctono (Liss y Cuadro 1) permitió reconocer en él las siguientes características:

1. Abundancia: en la mayoría de las muestras analizadas el material redepositado resultó casi tan abundante como el autóctono, alcanzando ocasionalmente hasta el 70% del total. Un ejemplo de la relación cuantitativa autóctono/alóctono de los palinomorfos del río Caraparí está representada en la Figura 1. Una de las causas de esta notable abundancia, es la proximidad de las secciones estudiadas con el borde de la cuenca, constituyendo en el sector sureste por el Arco de Michicola, del cual proviene los depósitos portadores del material retrabajado (Figura 3).

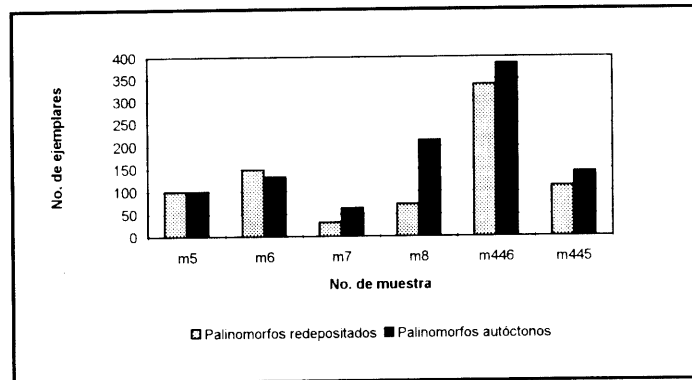


FIGURA 2 - Relación cuantitativa entre palinomorfos autóctonos y redepositados, registrada en el Grupo Mandiyú.

FIGURE 2 - Quantitative ratio between indigenous and reworked palynomorphs, recorded in the Mandiyú Group.

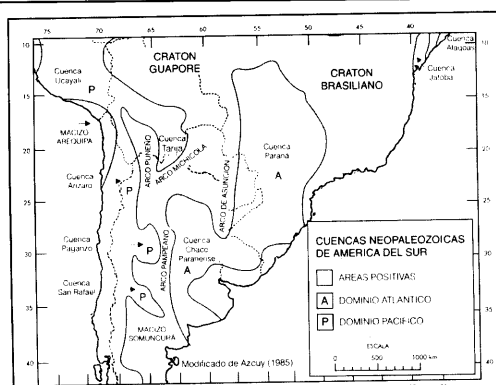


FIGURA 3 - Ubicación de la Cuenca Tarija en América del Sur.

FIGURE 3 - Location of Tarija Basin into South America.

2. Composición: El material retrabajado consiste en acírticas, esporas y chitinozoarios subordinados de edad devónica (incluyendo especies givetianas hasta strunianas) y, en menor cantidad, esporas del Carbonífero Temprano. El estudio sistemático de los palinomorfos condujo a la diferenciación de una asociación autóctona, coetánea con la deposición de las sedimentitas del Carbonífero Superior y de por lo menos otras tres, compuestas de formas retrabajadas de edad más antigua (véanse Lista y Cuadro 1). Una relación marino/continental de los palinomorfos redepositados en las mismas muestras utilizadas en la Figura 2, se representa en la Figura 4.

Para la evaluación de la antigüedad de los palinomorfos presentes en los depósitos de los Grupos Machareti y Mandiyutí se ha tenido en cuenta, fundamentalmente, el registro cronológico previo de las especies halladas, descartando aquéllas nuevas para la ciencia, las cuales serán descritas en otro trabajo. El reconocimiento de las asociaciones alóctonas se fundamentó en la identificación de especies previamente

descritas en otras asociaciones atribuidas al Devónico Medio y Tardío y al Carbonífero Temprano, tanto en el Gondwana como en el resto del mundo. A los fines de este trabajo se han seleccionado para su ilustración, las especies más representativas de cada una de las asociaciones alóctonas como así también de la autóctona, especialmente aquéllas con citas previas en cuencas de Argentina, Bolivia y Paraguay (Lámínas I, II y III).

Las asociaciones alóctonas se hallan compuestas por dos conjuntos de palinomorfos redepositados que contienen variadas y abundantes especies de: a) Acírticas y Prasinofícias y b) Esporas, cuya relación de abundancia se muestra en la Figura 4. El primer conjunto está compuesto por elementos de origen marino (véase Lista) y antigüedad casi exclusivamente devónica, y los palinomorfos se hallan relativamente bien preservados. Muchas de estas especies han sido previamente reportadas en depósitos devónicos de la Cuenca Tarija, tanto en Argentina como en Bolivia y Paraguay (Pöthe de Baldis 1974 1979, Lobo Boneta 1975, Kimyai 1983, Barreda 1986, Volkheimer et al. 1986, Ottone 1996, Ottone & Rossello 1996).

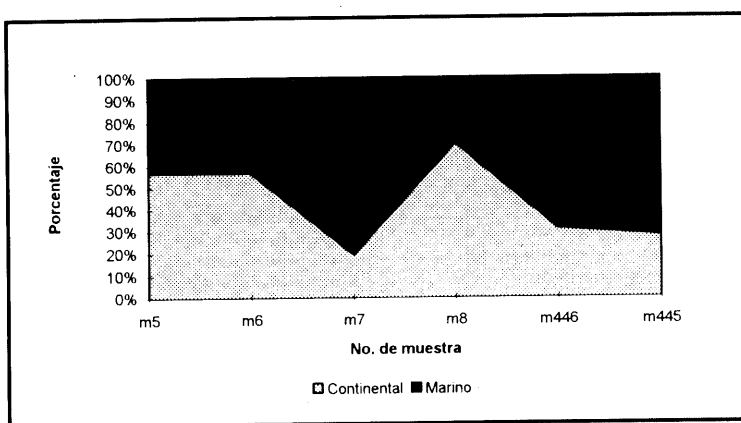


FIGURA 4 - Porcentaje de palinomorfos redepositados de origen marino versus continental, basado en los datos de la Figura 2.

FIGURE 4 - Reworked palynomorphs percentage of marine versus continental origin, based on data from Figure 2.

El conjunto b) se compone de una importante variedad de esporas y dentro de éstas se han considerado tres grupos con diferentes características y antigüedad (véanse Lista y Cuadro 1). El primero comprende principalmente especies clásicas de asociaciones del Devónico Medio y Tardío, las cuales han sido reiteradamente descritas e ilustradas en depósitos de la Formación Los Monos y de otras unidades devónicas de la cuenca (Menéndez & Pöthe de Baldis 1967, McGregor 1984, Pérez Leyton 1991, Ottone 1996). El segundo, es un pequeño grupo de edad Devónico cuspidal constituido también por esporas redepositadas de origen continental (Lobo Boneta 1975, Pérez Leyton 1991). El tercer grupo está compuesto por esporas retrabajadas con rasgos morfológicos variados, las cuales se atribuyen a una edad Carbonífero Temprano (Azcuy & Ottone 1987, Vavrdová et al. 1991 1993). Finalmente, un cuarto y último grupo corresponde a esporas con rasgos morfológicos simples, de escasa variación en el tiempo y rangos estratigráficos extensos (e.g. formas longevas lisas), no han sido incluidos en esta lista por su escaso y poco confiable significado bioestratigráfico.

Edad de los Palinomorfos Alóctonos y Autóctonos

Si bien son pocos los trabajos palinológicos publicados en el sector argentino de la Cuenca Tarija referidos a depósitos del Carbonífero Superior (Grupos Machareti y Mandiyutí), muchos datos han sido provistos en informes inéditos de YPF. Estos últimos, fueron contribuciones carentes de descripciones e ilustraciones de las especies citadas. La antigüedad atribuida a estos depósitos osciló entre el límite Devónico-Carbonífero y Carbonífero Inferior, hasta que fue aceptada la presencia de redeposición (Azcuy & Laffitte 1981). Actualmente se reconoce que las diferentes edades atribuidas a esos depósitos, sobre la base de sus palinomorfos, fue consecuencia de la mezcla de elementos autóctonos con otros redepositados (Azcuy & Laffitte 1981, Azcuy & di Pasquo en prnsa).

Cabe señalar que numerosos análisis palinológicos sugieren que el límite Devónico-Carbonífero en la franja ecuatorial resultó de un progresivo reemplazo de los elementos microflorísticos (Strel 1969, Lanzoni & Magloire 1969, Owens 1970, Clayton et al. 1977, Keegan 1977, 1981, Massa et al. 1980, Attar et

ESPORAS

<i>Acanthotriletes denticulatus</i> Naumova 1953	<i>Polydryxium decorum</i> Deunff 1955
<i>Acinosporites eumamillatus</i> Loboziak et al. 1988	<i>Pterospermella hermosita</i> (Cramer) Eisenack, Cramer & Diez 1973
<i>Acinosporites ledundai</i> Ottone 1996	<i>Pterospermella solis</i> Wicander 1974
<i>Ancylospora simplex</i> Guennel 1963	<i>Pterospermella tenellula</i> Playford 1981
<i>Apiculiretusispora brandtii</i> Strel 1964 (=A. <i>nitida</i> Owens 1971)	<i>Tasmanites</i> spp.
<i>Archaeozonotriletes columnus</i> Allen 1965	
<i>Auroraspore macra</i> Sullivan 1968 (=morphon Van der Zwan 1980)	
<i>Baculatisporites</i> sp. cf. <i>B. justiculus</i> Sullivan 1968	
<i>Camarozonotriletes antiquus</i> Kedo 1955	
<i>Convolutispora circumvallata</i> Clayton 1971	
<i>Cyrtospora cristifera</i> (Luber) emend. Van der Zwan 1979	
<i>Emphanisporites annulatus</i> McGregor 1961	
<i>Emphanisporites rotatus</i> (McGregor) McGregor 1973	
<i>Emphanisporites hibernicus</i> Clayton, Higgs & Keegan 1977	
<i>Emphanisporites decoratus</i> Allen 1965	
<i>Emphanisporites magnus</i> Coquel & Moreau-Benoit 1986	
<i>Geminospora lemura</i> Balmé 1962	
<i>Grandispora brevispinosa</i> Menéndez & Pöthe de Baldis 1967	
<i>Grandispora pseudoreticulata</i> (Menéndez & Pöthe de Baldis)	
Ottone 1996	
<i>Grandispora riegelii</i> Loboziak & Strel 1989	
<i>Granulatisporites crenulatus</i> Playford 1963	
<i>Knoxisporites heredatus</i> (Ishchenko) Playford 1962	
<i>Leiotrilites tortilis</i> Playford 1963	
<i>Lophozonotriletes bellus</i> Kedo 1963	
<i>Tumulispora rarituberculata</i> (Luber) Potonié 1966	
<i>Reticulatisporites labiatus</i> Ravn 1991	
<i>Retispora lepidophyta</i> (Kedo) Playford 1976	
<i>Retisotriletes paraguayanensis</i> Menéndez & Pöthe de Baldis 1967	
<i>Samarisporites megaformis</i> Richardson 1965	
<i>Samarisporites triangulatus</i> Allen 1965	
<i>Vallatisporites pusillites</i> (Kedo) Dolby & Neves 1970	
<i>Verruciretispora magnifica</i> (McGregor) Owens 1971	
<i>Verrucosporites nitidus</i> (Naumova) Playford 1963	
<i>Verrucosporites scurrus</i> (Naumova) McGregor & Camfield 1982	

PRASINOPHYCEA

<i>Cymatosphaera canadensis</i> Deunff 1961	
<i>Cymatosphaera pavimenta</i> (Deflandre) Deflandre 1954	
<i>Cymatosphaera perimembrana</i> Staplin 1961	
<i>Dictyotidium cavernosulum</i> Playford 1977	
<i>Dictyotidium torosum</i> Playford 1981	
<i>Dictyotidium variatum</i> Playford 1977	
<i>Duvernaysphaera angelae</i> Deunff 1964	
<i>Duvernaysphaera radiata</i> Brito 1957	
<i>Duvernaysphaera tenuicingulata</i> Staplin 1961	
<i>Duvernaysphaera tessella</i> Deunff 1964	
<i>Hemiruptia legaultii</i> Ottone 1996	
<i>Leiosphaeridium</i> spp.	
<i>Maranhites brasiliensis</i> Brito 1965 emend. Burjack & Oliveira 1989	
<i>Maranhites insulatus</i> Burjack & Oliveira 1989	
<i>Maranhites lobulatus</i> Burjack & Oliveira 1989	
<i>Maranhites mosesii</i> (Sommer) Brito emend. Burjack & Oliveira 1989	
<i>Polydryxium cuboides</i> Deunff 1955	

ACRITARCHA

<i>Arkonites bilixus</i> Legault 1973	
<i>Baltisphaeridium triangulare</i> Stockmans & Willière 1962	
<i>Buedingisphaeridium</i> sp. McGregor 1984	
<i>Costatilobus undulatus</i> Playford 1977	
<i>Dactylofusa fastidiona</i> (Cramer) Eisenack et al. 1976	
<i>Daillydium pentaster</i> (Staplin) emend. Playford 1981	
<i>Estiastra barbata</i> Downie 1963	
<i>Evittia cymosa</i> Loeblich 1970	
<i>Evittia geometrica</i> Playford 1981	
<i>Evittia somerei</i> Brito 1967	
<i>Exochoderra arca</i> Wicander & Wood 1981	
<i>Exochoderra triangulata</i> Wicander & Wood 1981	
<i>Gorganisphaeridium canningense</i> Colbath 1990	
<i>Gorganisphaeridium condensum</i> Playford 1981	
<i>Gorganisphaeridium discissum</i> Playford 1981	
<i>Gorganisphaeridium ohioense</i> (Winslow) Wicander 1974	
<i>Gorganisphaeridium winslowiae</i> Staplin et al. 1965	
<i>Hapsidopalla invenusta</i> Wicander & Wood 1981	
<i>Hapsidopalla</i> sp.	
<i>Helosphaeridium microclavatum</i> Playford 1981	
<i>Leiofusa pyrena</i> Wicander & Wood 1981	
<i>Lophosphaeridium dumalis</i> Playford 1977	
<i>Michrystridium comatum</i> Stockmans & Willière 1962	
<i>Mutiplicisphaeridium ramispinosum</i> Staplin 1961	
<i>Mutiplicisphaedidum irregularis</i> Staplin et al. 1965	
<i>Muratitaceava munificus</i> Wicander & Wood 1981	
<i>Navifusa bacillum</i> (Deunff) Playford 1977	
<i>Navifusa multistriata</i> (Brito) Combaz et al. 1967	
<i>Palcanthus ledanoisii</i> (Deunff) Playford 1977	
<i>Polygonium barredae</i> Ottone 1996	
<i>Stellinum octoaster</i> (Staplin) Jardiné et al. 1972	
<i>Umbellaspheeridium saharicum</i> Jardiné et al. 1972	
<i>Umbellaspheeridium deflandrei</i> (Moreau - Benoit) Jardiné et al. 1972	
<i>Verhyachium colemani</i> Playford 1981	
<i>Verhyachium downiei</i> Stockmans & Willière 1962	
<i>Verhyachium lairdii</i> Deflandre 1964 ex Deunff 1959	
<i>Verhyachium polyaster</i> Staplin 1961	
<i>Verhyachium trispinosum</i> (Eisenack) Deunff 1954	

CHITINOZOA

<i>Angochitina comosa</i> Taugourdeau & Jekhowsky 1960	
<i>Lagenochitina sommeri</i> Lange 1952	

CHLOROPHYCEAN ALGAE

<i>Chomotriletes vedugensis</i> Naumova 1953	
<i>Quadrisporites granulatus</i> (Cramer) Strötner 1991	

LISTA - Especies de palinomorfos consideradas alóctonas, obtenidas de los Grupos Machareti y Mandiyutí (Carbonífero Superior), reunidos, por orden alfabético, en grandes grupos sistemáticos.

LIST - Palynomorphs species considered reworked, obtained from Machareti and Mandiyutí Groups (Upper Carboniferous), joined in major systematic groups after alphabetic order.

DEVONICO				CARBONIFERO				PERMICO	
INFERIOR	MEDIO	SUPERIOR		INFERIOR	SUPERIOR			INFERIOR	
Laguna			Touroniano	Sengoniano	Bashkiriano	Kasimoviano	Goreano	Aszubiano	Siemirjaniano

CUADRO 1 - Rango estratigráfico de las especies de palinomorfos seleccionados (autóctonos y alóctonos), reconocidos en unidades de los Grupos Machareti y Mandiyutí (Carbonífero Superior). Las flechas indican la extensión del rango en estratos más jóvenes o más antiguos y las líneas punteadas, registros dudosos. Las referencias correspondientes al Devónico y Carbonífero Temprano se basan en registros mundiales bien conocidos, y aquéllas para el Carbonífero Tardío comprenden principalmente los registros de América del Sur (Argentina, Brasil, Bolivia y Uruguay). * Primera cita en Argentina.

CHART 1 - Recorded stratigraphic ranges of selected miospore species (indigenous and reworked), recognised in sections from Machareti and Mandiyutí Groups (Upper Carboniferous). The arrows point out known extensions into strata younger or older, and the dashed lines indicate doubtful records. References from Devonian and Early Carboniferous stratigraphic ranges are based on well-known world records, and the ones from Late Carboniferous are based mainly on South America records (Argentina, Brazil, Bolivia and Uruguay). * First report from Argentina.

al. 1980, Van der Zwan 1980, van Veen 1981, Coquel & Latreche 1989, Playford & McGregor 1993, Clayton 1996). Por otra parte, la información palinológica disponible en cuencas gondwánicas del dominio pacífico del sur de América del Sur (véase Figura 3), es aún insuficiente pues son escasas las secuencias donde realizar estudios referidos al Devónico cuspidal seguido de Carbonífero Inferior.

En el Cuadro 1 se pueden reconocer claramente por su distribución estratigráfica cuatro asociaciones de palinomorfos: la primera corresponde a un conjunto de especies muy abundantes compuestas por esporas y acritarcas atribuidos principalmente al Givetiano/Fameniano. Entre esos palinomorfos se hallan especies como *Geminospora lemurata*, *Samarisporites triangulatus*, *Apiculiretusispora brandtii*, *Emphanisporites annulatus*, *Exochoderra arca*, *Grandispora pseudoreticulata*, *Verrucosporites securis*, *Duvernaysphaera tenuicingulata*, *Muraticavea munificus*, *Lagenochitina sommerii*, *Leiofusa pyrena*, *Maranhites mosesii*, *Crucidia camirensis* y *Navifusa bacillum*. La asociación representa un ambiente marino más o menos próximo a la costa.

Una segunda asociación corresponde a especies menos abundantes entre las que predominan esporas sobre acritarcas, las cuales son características del Devónico cuspidal (Struniano). Son frecuentes *Retispora lepidophyta*, *Umbellaspheeridium saharicum*, *Vallatisporites pusillites*, *Auroraspora macra*, *Gorgonispheeridium winslowiae* y *Emphanisporites hibernicus*. Este conjunto contiene elementos principalmente de origen continental, asociados con escasos palinomorfos marinos subordinados.

La tercera asociación está formada por esporas del Carbonífero Temprano (Tournaisiano) entre las que se destacan *Tumulispora rarituberculata*, *Knoxisporites heredatus*, *Verrucosporites nitidus*, *Auroraspora macra* (= *Colatisporites decorus*), *Lophozonotriletes bellus*, *Convolutispora circunvallata*, *Leiotriletes tortilis* y *Reticulatisporites labiatus*. La asociación contiene elementos sólido de origen continental.

La cuarta asociación está formada por esporas y granos de polen del Carbonífero Tardío/Pérmino Temprano?. Componen esta asociación especies como *Punctatisporites gretensis*, *Leiotriletes directus*, *Granulatisporites varigranifer*, *G. micronodosus*, *Lundbladispora ribonensis*, *Cyclogranisporites microgranulatus*, *Cristatisporites stellatus*, *Kraeuselisporites volkheimerii*, *Vallatisporites arcuatus*, *Punctatosporites granifer*, *Plicatipollenites malabarensis*, *Cannanoropolitis janakii*, *Potoniiesporites magnus*, *P. neglectus*, *Caheniasaccites flavatus*, *Maculatasporites indicus*, *Portalis gondwanensis*, *Tetraporina tetragona*, *Brazilea scissa* y *Botryococcus braunii*. Por sus componentes esta palinoflora representa paleoambientes continentales fluviales y lacustres en la cercanía de bosques de gimnospermas (di Pasquo & Azcuy 1997).

DISCUSIÓN

Datación del Diastrofismo Devónico/Carbonífero Temprano

La evolución del Ciclo Gondwánico en la Argentina ha permitido reconocer diversos ámbitos tectónicos y eventos magmáticos y sedimentarios, los cuales determinaron la paleogeografía imperante en el inicio del Paleozoico Tardío (Ramos & Palma 1996). El conjunto de movimientos que produjeron la amalgamación, subsidencia y posterior formación del piso estructural que recibió las potentes secuencias neopaleozóicas, denominado por Turner & Méndez (1975) fase Cháñica, ha sido ampliamente reconocido por diversos autores (Salfity *et al.* 1975, Davidson *et al.*

1981, Coira *et al.* 1982, Azcuy 1985, Ramos *et al.* 1986, Azcuy & Caminos 1988, Ramos 1988, Starck *et al.* 1993 a,b, López Gamundi & Rossello 1993, Astini *et al.* 1995, Tankard *et al.* 1995, Eyles *et al.* 1995, Starck 1995, Mon & Salfity 1995, Fernández Seveso & Tankard 1995).

A continuación, el análisis y discusión de las evidencias palinológicas y geológicas, provenientes de capas del Devónico cuspidal - Carbonífero basal de la Cuenca Tarija, permite reinterpretar la ubicación cronoestratigráfica de los movimientos de la fase Cháñica para esta cuenca.

Evidencias Palinológicas

El análisis obtenido de la información palinológica, especialmente en el sector argentino de la Cuenca Tarija, indica que el material redepositado en las capas del Carbonífero Superior incluye no solamente elementos del Devónico Medio y Tardío sino también del Devónico cuspidal (=Struniano) y del Carbonífero Temprano (=Tournaisiano, véanse Lista y Cuadro 1). Esto permite asegurar por lo menos en las localidades de esta cuenca donde se han realizado los estudios palinológicos, que a las espesas sucesiones devónicas les siguió la deposición de capas que alcanzaron hasta la parte baja del Carbonífero Inferior (=Tournaisiano). Esta clara evidencia palinológica, permite poner un límite superior (en algunas áreas) a la intensa actividad erosiva de los movimientos de la fase Cháñica, los cuales, especialmente en el sector argentino y quizás en menor medida también en Bolivia, han consumido las sucesiones devónicas hasta niveles frasnianos y aún más antiguos (Azcuy & Laffitte 1981, Lobo Boneta 1989).

Los escasos estudios palinológicos publicados del Devónico Superior y Carbonífero Inferior de la parte boliviana de esta cuenca, también avalan la hipótesis de un techo superior en el más alto Tournaisiano para los movimientos chánicos. Lobo Boneta (1975), cita e ilustra material de muestras de afloramiento y subsuelo de los alrededores de Camiri y Río Azero, correspondientes a las Formaciones Iquíri y Itacua. El registro en la primera unidad consiste de palinomorfos del Devónico Tardío (Givetiano-Frasniano) tales como *Geminospora lemurata*, *Samarisporites triangulatus*, *Verrucosporites premnus*, *Crucidia camirensis*, *Maranhites brasiliensis*. El autor atribuye al Carbonífero Temprano (Tournaisiano), especies como *Retispora lepidophyta* y *Umbellaspheeridium saharicum* para caracterizar la Formación Itacua. Sin embargo, para la gran mayoría de los autores, estas especies que constituyen una palinoflora ampliamente aceptada, son exclusivas del Fameniano alto (=Struniano: Owens & Street 1967; Owens 1970; Street 1970, 1986; Daemon 1974; Clayton *et al.* 1977, 1990; Turner 1978; Massa *et al.* 1980; Attar *et al.* 1980; Van der Zwan 1980; van Veen 1981; Wood 1984; Clayton 1985, 1996; Richardson & McGregor 1986; Playford 1991, 1993; Loboziak *et al.* 1991, 1992; Street & Loboziak 1996; Reitlinger *et al.* 1996; Abdesselam-Roughi & Coquel 1997). La Formación Itacua incluye también esporas típicas del Carbonífero Temprano como *Knoxisporites literatus*, *Leiotriletes tortilis* y *Convolutispora vermiformis*.

Si consideramos la presencia en la Formación Itacua de *Retispora lepidophyta* y *Umbellaspheeridium saharicum* junto con esporas autóctonas del Carbonífero Temprano, surge claramente que las primeras especies mencionadas son redepositadas. Esta interpretación es corroborada también por la existencia de una discordancia que separa las Formaciones Iquíri de Itacua (Lobo Boneta 1975: Figura 2, Suárez Soruco 1989: Figura 3). La presencia de esporas autóctonas del Carbonífero Temprano en la unidad mencionada, asociadas a diamicritas de origen glacial, indica que este episodio de rigurosas condiciones paleoambientales habría comenzado en el Tournaisiano.

Posteriormente Lobo Boneta (1989), vuelve a discutir el límite Devónico-Carbonífero postulando una antigüedad Givetiano-Frasniano para la Formación Iquirí y propone para la Formación Itacua (=Saipurú) una extensión bioestratigráfica que alcanzaría el Fameniano-Sruniano en la localidad de Yuquimbía y el Namuriano en la localidad de Itacuamí. Cabe señalar que no acompaña citas de las especies que podrían sustentar esta propuesta. Los autores coinciden con Lobo Boneta (1989) que componentes de la palinozona *Retispora leptophyta* pudieron ser erosionados y redepositados como consecuencia de los movimientos eohercénicos (=chánicos).

Al oeste de Santa Cruz de la Sierra, en la sección Bermejo-La Angostura, Pérez Leyton (1991) ha realizado estudios palinológicos en capas aflorantes de las Formaciones Los Monos, Iquirí y Saipurú. Las edades basadas en el hallazgo de esporas y acritarcas (*Geminospores lemurata*, *Verrucosporites scurrus*, *Samarisporites triangulatus*, *Grandispora riegeli*, *Muraticavea munificus*, *Maranhites brasiliensis*) permitieron atribuir a las dos primeras unidades una edad desde Emsiano hasta Fameniano. Las muestras M-19, M-12 y M-13 de la Formación Saipurú ubicadas por encima de la discordancia atribuida por Suárez Soruco (1989) a la fase Tatarendá, presentan desde el punto de vista litológico diamicntas glaciales y contienen *Retispora leptophyta*, *Umbellaspaeeridium saharicum*, *Retusotriletes incophatus*, *Knoxisporites literatus*, *Dictyotriletes frimbriatus*, *Grandispora cornuta*, especies que sugieren una antigüedad fameniana (struniana) - touraisiana. Pérez Leyton (1991) se refiere solamente al redepósito de origen continental mencionando que, en las muestras citadas, se encuentra una «mélange» de especies autóctonas con otras más antiguas entre las que cita *Grandispora protea*, *G. velata*, *Rhabdosporites parvulus* y *Samarisporites eximus* de edad Eifeliano-Givetiano. Los autores interpretan la discordancia que separa las Formaciones Iquirí-Saipurú como parte de los movimientos de la fase Chánica responsables de ese redepósito.

En la Península de Copacabana (Isla del Sol) y margen oriental del Lago Titicaca (Mina La Matilde), Vavrdová *et al.* (1991, 1993) estudiaron el límite Devónico-Carbonífero. En el primer caso las muestras IS-2 y IS-3 brindaron entre otros elementos *Retispora leptophyta*, *Hymenozonotriletes explanatus* y *Umbellaspaeeridium saharicum*, especies que sugieren que la parte superior de la Formación Colpacucho y parte inferior de la Formación Cumaná, esta última portadora de diamicntas glaciales (Díaz *et al.* 1993), tendrían la misma antigüedad, Fameniano alto. Vavrdová *et al.* (1991, 1993) aceptan la posibilidad de material reciclado más antiguo, el cual es más abundante en acritarcas devónicas en la muestra IS-3 (véase Tabla II en Vavrdová *et al.* 1991 1993). Es de interés señalar que entre la muestra IS-2 del techo de la Formación Colpacucho y la IS-3 de la base de la Formación Cumaná, ocurre la discordancia que Suárez Soruco (1989) atribuye a la fase Tatarendá; por lo tanto, el redepósito arriba citado debe ser interpretado como consecuencia de esa discordancia, la cual en este trabajo se correlaciona con los movimientos iniciales de la fase Chánica. Los datos de la Mina La Matilde indican para las muestras MM-4a y MM-9a también una edad Fameniano alto (=Struniano), en las cuales están presentes los taxa antes mencionados, en tanto que la muestra MM-9b, superior, contiene *Cyrtospora cristifera*, *Rugospora polyptycha*, *Verrucosporites nitidus* y *Densosporites spitsbergensis*, especies que indican una edad Touraisiano. Es llamativa la presencia de acritarcas de antigüedad devónica en la muestra MM-9b pues ello sugiere la presencia de una discordancia que justifique ese redepósito comprobado por Vavrdová *et al.* (1991, 1993).

En la región del alto río Beni (Encañada de Beu) Azcuy & Ottone (1987), obtuvieron palinomorfos de una única muestra del tramo superior de la Formación Retama. Principalmente sobre la

base de *Verrucosporites nitidus*, *Granulatisporites frustulatus* y *Auroraspora macro* los autores atribuyen esas capas de la Formación Retama al Carbonífero Temprano. La presencia de otras especies como *Grandispora pseudoreticulata*, *Stelliniun octoaster*, *Maranhites brasiliensis* y *Retispora leptophyta* de antigüedad Devónico Tardío sugiere la existencia de palinomorfos redepositados y consecuentemente, de una discordancia por debajo del nivel estudiado portando palinomorfos.

Evidencias Geológicas y Diastróficas

En el sector argentino de la Cuenca Tarija, llama la atención el no registro de depósitos entre la base del Grupo Macharetí (Formación Tupambi) y las capas del Devónico. Este hiato de aproximadamente 40 Ma, fue producido como consecuencia de la orogenia Chánica, principalmente por la erosión de los bloques fallados y elevados formados por capas esencialmente devónicas. Esta discordancia se registra tanto en afloramientos como en subsuelo, y se comprobó, a través de la correlación de perfiles, la existencia de importantes paleovalles de origen glacial que alojaron la sedimentación del Carbonífero Superior (Starck *et al.* 1993 a, b). Estas geoformas, junto con otras evidencias sedimentológicas registradas en capas de esta edad, ponen de manifiesto la importancia de los procesos glaciales que controlaron la sedimentación poco después del inicio de los movimientos chánicos. Este hiato se reduce a alrededor de 25 Ma dentro de Bolivia, donde sobre capas devónicas de la Formación Los Monos se apoyan dos unidades, las Formaciones Iquirí e Itacua, ausentes en la Argentina (Cuadro 2).

		TARIJA	
País	ARGENTINA	BOLIVIA	
Región			
Localidad	S. Subandinas	S. Subandinas	
PERMICO SUPERIOR		Vitacuá	
PERMICO INFERIOR	Cangapí		Copacabana
CARBONIF. SUPERIOR	San Telmo	San Telmo	
	Las Peñas	Escarpmient	Taliquati
	Tarija	Tarija / Chorro	
CARBONIF. INFERIOR	Tupambi	Tupambi	
			Itacua / Saipurú
DEVONICO	Los Monos		Iquirí

CUADRO 2 - Ubicación cronoestratigráfica de los movimientos de la fase Chánica en los sectores argentino y boliviano de la Cuenca Tarija.
CHART 2 - Chronostratigraphic location of the Chanic phase movements in the argentinian and bolivian regions from Tarija Basin.

Suárez Soruco & López Pugliessi (1983), proponen el nombre Saipurú para los estratos conocidos como Formación Itacua y le atribuyen una antigüedad Devónico Superior-Carbonífero Inferior inferior sobre la base de la información palinológica provista por Lobo Boneta (1975). Los autores citados reconocen una discontinuidad paralela en la base de la Formación Saipurú, la cual es observada por sectores. Posteriormente Suárez Soruco (1989), efectúa una revisión de los límites del Ciclo Cordillerano y propone denominar fase Tatarenda a la discontinuidad que separa las Formaciones Iquirí y Saipurú, y fase Chiriguana (= Eohercínica), a los movimientos de antigüedad Carbonífero Temprano (Tournaisiano) que cierran el ciclo Cordillerano (= Gondwánico). De acuerdo con los estudios palinológicos antes discutidos, se puede aceptar que la Formación Iquirí alcanzaría el tope del Frasniano y la Formación Itacua, depositada luego de la discordancia producida por la fase Tatarenda, correspondería al Tournaisiano. Con esta interpretación quedarían evidenciados en Bolivia dos hiatos: uno que representa como mínimo la erosión de parte del Fameniano producido por la fase Tatarenda y otro que incluiría el Visceano y parte del Naruriano atribuido a los movimientos de la fase Chiriguana (véase Cuadro 2). En la parte argentina de la cuenca se reconocen, por ausencia de una unidad equivalente a la Formación Itacua, evidencias de solamente un movimiento de la fase Chánica.

Sempere (1990), retoma la denominación Itacua (=Saipurú, según Suárez Soruco & López Pugliessi 1983) y confirma la existencia de una discontinuidad sedimentaria en la base de esta unidad aunque, en algunas localidades del Subandino Sur observa pasaje transicional entre ésta y la subyacente Formación Iquirí. Concluye además, que en gran parte de la Faja Subandina, entre las Formaciones Itacua y San Telmo, no existen hiatos y la sucesión fue continua.

CONCLUSIONES

1. Las evidencias palinológicas analizadas más arriba permiten asegurar que en el sector argentino de la cuenca se depositaron capas equivalentes en antigüedad a las Formaciones Iquirí y Saipurú (=Itacua), como lo atestiguan las asociaciones redepositadas en los Grupos Machareti y Mandiyutí (véanse Lista y Cuadro 1).

2. En Argentina, estos estratos no han sido reconocidos ni en superficie ni en subsuelo, por haber sido expuestos a la erosión (principalmente glacial) por los movimientos de la fase Chánica. Esta interpretación se complementa con el reconocimiento de numerosos paleovalles excavados en las capas devónicas, los cuales fueron rellenados por las sedimentitas del Grupo Machareti (especialmente la Formación Tupambí).

3. La extensión regional de los movimientos chánicos que cerraron el Ciclo Famatiniano (=Cordillerano) y dieron comienzo al Gondwánico (=Subandino), incluye no sólo América del Sur sino también otras regiones del Gondwana, y su intensidad ha quedado evidenciada por la erosión de potentes espesores de sedimentitas devónicas. En la parte boliviana de la Cuenca Tarija está documentada palinológicamente una fase inicial al final del Fameniano y una fase final probablemente al concluir el Tournaisiano. En el sector argentino de la cuenca no hay elementos de juicio que permitan asegurar la existencia de la primera pero sí de la segunda.

4. Los disímiles procesos tectónicos ocurridos durante los movimientos chánicos en las distintas cuencas o aún dentro de la misma (e.g. Cuenca Tarija), sugieren estadios de diversa intensidad, lo cual se evidencia en la angularidad, a veces casi inexistente (salvo a escala regional), de las discontinuidades observadas, especialmente en las del final del Fameniano.

5. Los procesos glaciales que aparecen vinculados con los movimientos chánicos se deben probablemente a las altas paleolatitudes que alcanzó en su deriva el supercontinente Gondwana. Tanto la sedimentación como los hiatos (erosivos y no deposicionales) que median entre el Devónico y el Carbonífero Superior en la parte argentina de la Cuenca Tarija, y en la parte boliviana, entre las unidades del Carbonífero Inferior y el Superior, estuvieron controlados por la glaciación del Carbonífero.

6. El examen detallado de los palinomorfos redepositados y el análisis crítico de los datos proporcionados por los estudios palinológicos, tanto de la parte argentina como boliviana de la cuenca, sugieren en Bolivia, reubicar estratigráficamente el comienzo de los movimientos chánicos (= fase Tatarenda) al finalizar el Devónico. En consecuencia, las Formaciones Saipurú (=Itacua), Retama y Cumaná, que en Bolivia descansan en discordancia sobre depósitos devónicos, deben ser consideradas de edad Carbonífero Inferior, como lo indican las evidencias palinológicas.

7. Finalmente, se pone de manifiesto el valor de los palinomorfos redepositados con identificación a nivel específico, ya que resultan de suma utilidad para datar discordancias o hiatos erosivos, que a veces en el campo pueden resultar superficies paradiscordantes sutiles, dudosas o hasta inapreciables. A su vez, y desde el punto de vista bioestratigráfico, su reconocimiento como elementos retrabajados permite conservar para estas especies el biocron más consensuado e impedir la extensión artificial de sus rangos, ya que algunas de ellas son importantes *markers* estratigráficos.

AGRADECIMIENTOS

Los autores desean expresar su agradecimiento al CONICET (Consejo Nacional de Investigaciones Científicas y Técnicas) por el apoyo económico recibido a través del PIP 4024/97, y al Departamento de Ciencias Geológicas de la UBA (Facultad de Ciencias Exactas y Naturales, Universidad de Buenos Aires), que facilitó los medios donde fue posible la realización de esta contribución. Hacen extensivo este agradecimiento al Dr. Eduardo G. Ottone por el apoyo brindado durante la realización de este trabajo y al Lic. Gustavo Hofeltz por el esmero puesto en la confección de las fotografías.

REFERENCIAS BIBLIOGRAFICAS

- ABDESELAM-ROUIGHI, F. & COQUEL, R. 1997. Palynology du Devon Terminal-Carbonifère Inferieur dans le Sud-Est du Bassin D'Ilizi (Sahara algérien). Position des Premières Lycospores dans la Série Stratigraphique. *Annales de la Société Géologique du Nord*, 5(2a. série): 47-57.
- ASTINI, R.A.; BENEDETTO, J.L.; VACCARI, N.E. 1995. The Early Paleozoic Evolution of the Argentine Precordillera as a Laurentian Rifted, Drifted, and Collided Terrane: a Geodynamic Model. *Geological Society of America Bulletin*, 107 (3): 253-273.
- ATTAR, A.; FOURNIER, J.; CANDILIER, A.M.; COQUEL, R. 1980. Etude Palynologique du Dévonien Terminal et du Carbonifère Inférieur du Bassin D'Ilizi (Fort - Polignac) Algérie. *Revue de l'Institut Français du Pétrole*, 35 (4): 585-619.
- AYAVIRÍ, A. 1972. El Sistema Carbónico en el Sureste Boliviano. *Anais Academia Brasileira de Ciências*, (Supl.), 44: 51-60.
- AZCUY, C.L. 1985. Late Carboniferous Paleogeography and Stratigraphy of Argentina. In: CONGRESO INTERNACIONAL DE ESTRATIGRAFÍA Y GEOLOGÍA DEL CARBONÍFERO, 10, Madrid 1983, 4: 281-293.

- AZCUY, C.L. & LAFFITTE, G. 1981. Palinología de la Cuenca Noroeste Argentina. I Características de las Asociaciones Carbónicas: Problemas e Interpretación. In: CONGRESO GEOLÓGICO ARGENTINO, 8, San Luis, 4: 823-838.
- AZCUY, C.L. & OTTONE, E.G. 1987. Datos Palinológicos de la Formación Retama en la Encalada de Beu, Río Alto Bení (Bolivia). In: CONGRESO LATINOAMERICANO DE PALEONTOLOGÍA, 4, La Paz, 1: 235-249.
- AZCUY, C.L. & CAMINOS, R. 1988. Características Paleogeográficas y Diastróficas de Algunas Cuencas Neopaleozoicas de América del Sur: Una Reseña. *Boletín de la Sociedad Geológica del Perú*, 78: 203-224.
- AZCUY, C.L. & DI PASQUO, M.M. (en prensa). Palynology of the Late Carboniferous from the Tarija Basin, Argentina: a Systematic Review of Monosaccate Pollen Grains. *Palaeotaxonomia*.
- AZCUY, C.L.; LAFFITTE, G.; RODRIGO, L. 1984. El límite Carbónico-Pérmino en la Cuenca Tarija-Titicaca. In: CONGRESO ARGENTINO DE PALEONTOLOGÍA Y BIOESTRATIGRAFÍA, 3, Corrientes 1982, 1: 39-44.
- BARREDA, V.D. 1986. Acrítarcos Givetiano-Frasnianos de la Cuenca del Noroeste, Provincia de Salta. Argentina. *Revista Española de Micropaleontología*, 18 (2): 229-245.
- BLESS, M.J.M. & STREEL, M. 1976. The Occurrence of Reworked Miospores in an Westphalian C Microflora from South Limburg (The Netherlands) and its Bearing on Paleogeography. *Mededelingen Rijks Geologische Dienst, nieuwe serie*, 27 (1): 1-39.
- CLAYTON, G. 1985. Dinantian Miospores and Inter-Continental Correlation. In: CONGRESO INTERNACIONAL DE ESTRATIGRAFÍA y GEOLOGÍA DEL CARBONÍFERO, 10, Madrid 1983, 4: 9-23.
- CLAYTON, G. 1996. Chapter 18C. Mississippian miospores. In: JANSONIUS, J. & MCGREGOR, D.C. (eds.). *Palynology: principles and applications*. American Association Stratigraphic Palynologists Foundation, 2: 589-596.
- CLAYTON, G.; COQUEL, R.; DOUBINGER, J.; GUEINN, K.J.; LOBOZIAK, S.; OWENS, B.; STREEL, M. 1977. Carboniferous Miospores of Western Europe: Illustration and Zonation. *Mededelingen Rijks Geologische Dienst*, 29: 1-71.
- CLAYTON, G.; LOBOZIAK, S.; STREEL, M.; TURNAU, E.; UTTING, J. 1990. Palynological Events in the Mississippian (Lower Carboniferous) of Europa, North Africa and North America. *Courier Forsch.-Institut Senckenberg*, 130: 79-84.
- COIRA, B.; DAVIDSON, J.; MPODOZIS, C.; RAMOS, V. 1982. Tectonic and Magmatic Evolution of the Andes of Northern Argentina and Chile. *Earth Science Review*, 18: 303-332.
- COQUEL, R. & LATRECHE, S. 1989. Etude Palynologique de la Formation D'Illerer (Devono-Carbonifère) du Bassin D'Illez (Sahara Algérien Oriental). *Palaeotaxonomia*, Abt. B, Bd. 212: 47-70.
- DAEMON, R.F. 1974. Palinomorfos-guias do Devoniano Superior e Carbonífero Inferior das Bacias do Amazonas e Parnaíba. *Anais Academia Brasileira de Ciências*, 46 (3-4): 549-587.
- DAVIDSON, J.; MPODOZIS, C.; RIVANO, S. 1981. Evidencias de Tectogenésis del Devónico Superior - Carbonífero Inferior, al Oeste de Augusta Victoria, Antofagasta, Chile. *Revista Geológica de Chile*, 12: 79-86.
- DÍAZ, E.; ISAACSON, P.E.; LEMA, J.C.; CHRISTENSEN, K.L.; VAVRDÓVÁ, M.; ANTELO, B. 1993. Significance of a Late Devonian (Famennian) glacial marine diamictite, Northern Altiplano, Bolivia. In: CONGRÈS INTERNATIONAL DE LA STRATIGRAPHIE ET GÉOLOGIE DU CARBONIFÈRE ET PERMIEN, 12, Buenos Aires 1991, Comptes Rendus, 1: 293-304.
- DI PASQUO, M.M. & AZCUY, C.L. 1997. Palinología del Grupo Mandiyut. Carbonífero Superior, Cuenca Tarija, Argentina. In: CONGRESO GEOLÓGICO CHILENO, 10, Antofagasta, 1: 475-479.
- ESHET, Y.; DRUCKMAN, Y.; COUSMINER, H.L.; HABIB, D.; DRUGG, W.S. 1988. Reworked Palynomorphs and their use in the Determination of Sedimentary Cycles. *Geology*, 16: 662-665.
- EYLES, N.; GONZÁLEZ BONORINO, G.; FRANÇA, A.B.; EYLES, C.H.; LÓPEZ PAULSEN, O. 1995. Hydrocarbon-bearing Late Paleozoic Glaciated basins of Southern and Central South America. In: TANKARD, A.J., SUÁREZ SORUCO, R. & WELSINK, H.J. (eds.). *Petroleum basins of South America*. American Association Petroleum Geologists, Memoir 62, p. 165-183.
- FERNÁNDEZ SEVESO, F. & TANKARD, A.J. 1995. Tectonics and Stratigraphy of the Late Paleozoic Paganzo Basin of Western Argentina and its Regional Implications. In: TANKARD, A.J., SUÁREZ SORUCO, R. & WELSINK, H.J. (eds.). *Petroleum basins of South America*. American Association Petroleum Geologists, Memoir 62, p. 285-301.
- GREGORY, W.A. & HART, G.F. 1992. Towards a Predictive Model for the Palynological Response to sea-level Changes. *Palaios*, 7: 3-33.
- HABIB, D.; ESHET, Y.; VAN PEEL, R. 1994. Palynology of Sedimentary Cycles. In: TRAVERSE, A. (ed.). *Sedimentation of Organic Particles*. Cambridge University Press, p. 311-335.
- JANSONIUS, J. & MCGREGOR, D.C. 1996. Chapter 1. Introduction. In: JANSONIUS, J. & MCGREGOR, D.C. (eds.). *Palynology: Principles and Applications*. American Association Stratigraphic Palynologists Foundation, 1: 1-10.
- KEEGAN, J.B. 1977. Late Devonian and Early Carboniferous Miospores from the Galley Head - Leap Harbour Region of Southwest Ireland. *Pollen et Spores*, 19 (4): 545-573.
- KEEGAN, J.B. 1981. Palynological Correlation of the Upper Devonian and Lower Carboniferous in Central Ireland. *Review of Palaeobotany and Palynology*, 34(1): 99-106.
- KIMYAI, A. 1983. Palaeozoic Microphytoplankton from South America. *Revista Española de Micropaleontología*, 15(3): 415-426.
- LANZONI, E. & MAGLIORE, L. 1969. Associations Palynologiques et leurs Applications Stratigraphiques Dans le Dévonien Supérieur et Carbonifère Inférieur du Grand Erg Occidental (Sahara algérien). *Revue de l' Institut Français du Pétrole*, 24(4): 441-469.
- LELE, K.M. 1964. Studies in the Talchir Flora of India: 2. Resolution of the Spore Genus *Nuskoisporites* Potonié & Klaus. *The Palaeobotanist*, 12 (2): 147-168.
- LIMA, M.R. 1984. Palinologia do Linhito de Jatobá (Cretáceo do Nordeste do Brasil). II- Retrabalhamento Devoniano, Discussão e Conclusões. In: CONGRESO BRASILEIRO DE GEOLOGIA, 33, Rio de Janeiro, Anais, p. 551-562.
- LOBO BONETA, J. 1975. Sobre Algunos Palinomorfos del Devónico Superior y Carbónico Inferior de la Zona Subandina sur de Bolivia. *Revista Técnica de Yacimientos Petrolíferos Fiscales Bolivianos* (Anales de la IV Convención Nacional de Geología, tomo 1), 4(3): 159-175.
- LOBO BONETA, J. 1989. El límite Devónico-Carbonífero en el Subandino Sur de Bolivia. *Revista Técnica de Yacimientos Petrolíferos Fiscales Bolivianos*, 10(3-4): 213-217.
- LOBOZIAK, S.; STREEL, M.; CAPUTO, M.V.; MELO, J.H. 1991. Evidence of West European Defined Miospore Zones in the Uppermost Devonian and Lower Carboniferous of the Amazonas Basin (Brazil). *Geobios*, 24(1): 5-11.
- LOBOZIAK, S.; STREEL, M.; CAPUTO, M.V.; MELO, J.H.G. 1992. Middle Devonian to Lower Carboniferous Miospore Stratigraphy in the Central Parnaíba Basin (Brazil). *Annales de la Société Géologique de Belgique*, 115 (1): 215-226.

- LÓPEZ GAMUNDI, O.R. & ROSSELLO, E.A. 1993. Devonian-Carboniferous Unconformity in Argentina and its Relation to the Eo-Hercynian Orogeny in Southern South America. *Geologische Rundschau*, **82**: 136-147.
- MASSA, D.; COQUEL, R.; LOBOZIAK, S.; TAUGOURDEAU-LANTZ, J. 1980. *Essai de Synthèse Stratigraphique et Palynologique du Carbonifère en Libye Occidentale. Annales de la Société Géologique du Nord*, **99**: 429-442.
- MCGREGOR, D.C. 1984. Late Silurian and Devonian Spores from Bolivia. *Academia Nacional de Ciencias de Córdoba, Miscelánea* **69**: 1-43.
- MENÉNDEZ, C.A. & PÓTHE DE BALDIS, E.D. 1967. Devonian Spores from Paraguay. *Review of Palaeobotany and Palynology*, **1**: 161-172.
- MINGRAMM, A.; RUSSO, A.; POZZO, A.; CAZAU, L. 1979. *Sierras Subandinas*. In: Simposio de Geología Regional Argentina, 2, Córdoba, Academia Nacional de Ciencias, I: 95-138.
- MON, R. & SALFITY, J.A. 1995. Tectonic Evolution of the Andes of Northern Argentina. In: TANKARD, A.J., SUÁREZ SORUCO, R. & WELSINK, H.J. (eds.). *Petroleum basins of South America*. American Association Petroleum Geologists, Memoir 62, p. 269-283.
- OTTONE, E.G., 1996. Devonian Palynomorphs from the Los Monos Formation, Tarija Basin, Argentina. *Palynology*, **20**: 105-155.
- OTTONE, E.G. & ROSSELLO, E.A. 1996. Palinomorfos Devónicos de la Formación Tequeje, Angosto del Beu, Bolivia. *Ameghiniana*, **33**(4): 443-452.
- OWENS, B. 1970. Recognition of the Devonian-Carboniferous Boundary by Palynological Methods. *Les Congrès et Colloques de l'Université de Liège*, **55**: 349-364.
- OWENS, B. & STREEL, M. 1967. *Hymenozonotrites Lepidophytus Kedo*, its Distribution and Significance in Relation to the Devonian-Carboniferous Boundary. *Review of Palaeobotany and Palynology*, **1**: 141-150.
- PLAYFORD, G. 1991. Australian Lower Carboniferous Miopores Relevant to Extra-Gondwanic Correlations: and Evaluation. *Courier Forsch.-Inst. Senckenberg*, **130**: 85-125.
- PLAYFORD, G. 1993. Miopores and Organic Walled Microphytoplankton Characteristic of Strata Contiguous With the Devonian - Carboniferous boundary. In: CONGRÈS INTERNATIONAL DE LA STRATIGRAPHIE ET GÉOLOGIE DU CARBONIFÈRE ET PERMIEN, 12, Buenos Aires 1991, Comptes Rendus, I: 127-160.
- PLAYFORD, G. & MCGREGOR, D.C. 1993. Miopores and Organic-Walled Microphytoplankton of Devonian-Carboniferous Boundary beds (Bakken Formation), Southern Saskatchewan: a Systematic and Stratigraphic Appraisal. *Geological Survey of Canada, Bulletin* **445**: 1-107.
- POTONIÉ, R. & SAH, S.C.D. 1960. *Sporae dispersae of the lignites from Cannanore Beach on the Malabar Coast of India*. *The Palaeobotanist*, **7**(2): 121-135.
- PÉREZ LEYTON, M. 1991. Miopores du Devonien Moyen et Supérieur de la Coupe de Bermejo - La Angostura (Sud-Est de la Bolivie). *Annales de la Société Géologique de Belgique*, **113**(2, 1990): 373-389.
- PÓTHE DE BALDIS, E.D. 1974. El Microplancton del Devónico Medio de Paraguay. *Revista Española de Micropaleontología*, **6** (3): 367-379.
- PÓTHE DE BALDIS, E.D. 1979. Acrítarcos y Quitinozoos del Devónico Superior de Paraguay. *Palinología*, (Número extraordinario), I: 161-177.
- RAMOS, V. 1988. Late Paleozoic-early Paleozoic of South America, a Collisional History. *Episodes*, **2**: 168-173.
- RAMOS, V. & PALMA, M.A. 1996. Capítulo XIII. Tectonismo y Distrofismo: Tectónica. In: S. ARCHANGELSKY (ed.). *El Sistema Pérmico en la República Argentina y en la República Oriental del Uruguay*. Academia Nacional de Ciencias, Córdoba, p. 239-253.
- RAMOS, V.; JORDAN, T.; ALLMENDINGER, R.; MPODOZIS, C.; KAY, S.; CORTES, J. & PALMA, M. 1986. Paleozoic Terranes of the Central Argentine - Chilean Andes. *Tectonics*, **5**(6): 855-880.
- REITLINGER, E.A.; VDOVENKO, M.V.; GUBAREVA, V.S.; SHCHERBAKOV, O.A. 1996. European part of the USSR. Lower Carboniferous. In: WAGNER, R.H., WINKLER PRINS, C.F. & GRANADOS, L.F. (eds.). *The Carboniferous of the World III*. IUGS Publ. 33: 23-54. Instituto Tecnológico GeoMinero de España.
- REYES, F.C. 1972. On the Carboniferous and Permian of Bolivia and Northwestern Argentina. *Anais Academia Brasileira de Ciências* (Supl.), **4**: 261-277.
- RICHARDSON, J.B. & MCGREGOR, D.C. 1986. Silurian and Devonian Spore Zones of the Old Red Sandstone Continent and Adjacent Regions. *Geological Survey of Canada, Bulletin* **364**: 1-79.
- SALFITY, J.A.; OMARINI, R.; BALDIS, B.; GUTIÉRREZ, W.J. 1975. Consideraciones Sobre la Evolución Geológica del Precámbrico y Paleozoico del Norte Argentino. In: CONGRESO IBERO-AMERICANO DE GEOLOGÍA ECONÓMICA, 2, Buenos Aires 1975, 4: 341-361.
- SEMPERE, T. 1990. Cuadros Estratigráficos de Bolivia: Propuestas Nuevas. *ORSTOM*, Informe No. 20, p. 1-26. La Paz.
- SENFTLE, J.T. & LANDIS, C.R. 1991. Vitrinite Reflectance as a tool to Assess Thermal Maturity. In: MERRILL, R.K. (ed.). *Source and Migration Processes and Evaluation techniques. Treatise of petroleum geology*. American Association Petroleum Geologists, p. 119-125.
- SOUZA, P.A. & PETRI, S. (en prensa). Reworked Palynomorphs from Westphalian Sediments at Araçoiaba da Serra, State of São Paulo, Brazil, Itararé Subgroup, Paraná Sedimentary basin. *Ameghiniana*.
- STANLEY, E.A. 1966. The Problem of Reworked Pollen and Spores in Marine Sediments. *Marine Geology*, **4**: 397-408.
- STARCK, D. 1995. Silurian-Jurassic Stratigraphy and Basin Evolution of Northwestern Argentina. In: TANKARD, A.J., SUÁREZ SORUCO, R. & WELSINK, H.J. (eds.). *Petroleum basins of South America*. American Association Petroleum Geologists, Memoir 62, p. 251-267.
- STARCK, D.; GALLARDO, E.; SCHULZ, A. 1993 a. Neopalaeozoic stratigraphy of the Sierras Subandinas Occidentales and Cordillera Oriental, Argentina. In: CONGRÈS INTERNATIONAL DE LA STRATIGRAPHIE ET GÉOLOGIE DU CARBONIFÈRE ET PERMIEN, 12, Buenos Aires 1991, Comptes Rendus, II: 353-372.
- STARCK, D.; GALLARDO, E.; SCHULZ, A. 1993 b. The pre-Carboniferous Unconformity in the Argentine portion of the Tarija Basin. In: CONGRÈS INTERNATIONAL DE LA STRATIGRAPHIE ET GÉOLOGIE DU CARBONIFÈRE ET PERMIEN, 12, Buenos Aires 1991, Comptes Rendus, II: 373-384.
- STREEL, M. 1969. Corrélations Palynologiques entre les Sédiments de Transition Dévonien/Dinantien dans les Bassins Ardennais-Rhénans. In: CONGRÈS CARBONIFÈRE, 6, Sheffield 1967, Comptes Rendus, I: 3-18.
- STREEL, M. 1970. Distribution Stratigraphique et Géographique d'*Hymenozonotrites Lepidophytus Kedo*, d'*Hymenozonotrites pusilites Kedo* et des assemblages tournaisiens. *Les Congrès et Colloques de l'Université de Liège*, **55**: 121-147.
- STREEL, M. 1986. Miopore Contribution to the Upper Famennian-Strunian Event Stratigraphy. *Annales de la Société Géologique de Belgique*, **109**: 75-92.
- STREEL, M. & LOBOZIAK, S. 1996. Chapter 18B. Middle and Upper Devonian miopores. In: JANSONIUS, J. & MCGREGOR, D.C. (eds.). *Palynology: principles and applications*. American Association Stratigraphic Palynologists Foundation, **2**: 575-588.
- SUÁREZ SORUCO, R. 1989. El ciclo Cordillerano (Silúrico - Carbonífero inferior) en Bolivia y su Relación con Países Limítrofes. *Revista Técnica Yacimientos Petrolíferos Fiscales Bolivianos*, **10** (3-4): 233-243.

- SUÁREZ SORUCO, R. & LÓPEZ PUGLISSI, M., 1983. Formación Saipurú, Nuevo Nombre Formacional para Representar a los Sedimentos Superiores del Ciclo Cordillerano (Devónico superior - Carbónico inferior), Bolivia. *Revista Técnica Yacimientos Petrolíferos Fiscales Bolivianos*, 9 (1-4): 209-213.
- TANKARD, A.J.; ULIANA, M.; WELSINK, H.; RAMOS, V.; TURIC, A.; FRANÇA, A.; MILANI, E.; BRITO NEVES, B.D.; EYLES, N.; SKARMETA, J. et al. 1995. Tectonic Controls of Basin Evolution in Southwestern Gondwana During the Phanerozoic. In: TANKARD, A.J., SUÁREZ SORUCO, R. & WELSINK, H. (eds.). *Petroleum basins of South America*. American Association Petroleum Geologists, Memoir 62, p. 5-52.
- TURNAU, E. 1978. Spore zonation of Uppermost Devonian and Lower Carboniferous Deposits of Western Pomerania. *Mededelingen Rijks Geologische Dienst*, 30(1): 1-35.
- TURNER, J.C. & MÉNDEZ, V. 1975. Geología del Sector Oriental de los Departamentos de Santa Victoria e Iruyá, Provincia de Salta, Argentina. *Academia Nacional de Ciencias de Córdoba, Boletín*, 51: 11-24.
- VAN DER ZWAN, C.J. 1980. Aspects of Late Devonian and Early Carboniferous Palynology of Southern Ireland. III. Palynology of Devonian - Carboniferous Transition Sequences With Special Reference to the Bantry Bay area, Co. Cork. *Review of Palaeobotany and Palynology*, 30 (3-4): 165-286.
- VAN VEEN, P.M. 1981. Aspects of Late Devonian and Early Carboniferous palynology of Southern Ireland. V. The Change in Composition of Palynological Assemblages at the Devonian-Carboniferous Boundary. *Review of Palaeobotany and Palynology*, 34(1): 67-98.
- VAVRDOVÁ, M.; ISAACSON, P.E.; DÍAZ MARTINEZ, E.; BEK, J. 1991. Palinología del Límite Devónico-Carbonífero en Torno al Lago Titikaka, Bolivia: Resultados Preliminares. *Revista Técnica Yacimientos Petrolíferos Fiscales Bolivianos*, 12: 303-313.
- VAVRDOVÁ, M.; ISAACSON, P.E.; DÍAZ, E.; BEK, J. 1993. Devonian-Carboniferous Boundary at Lake Titikaka, Bolivia: Preliminary Palynological results. In: CONGRÈS INTERNATIONAL DE LA STRATIGRAPHIE ET GÉOLOGIE DU CARBONIFIÈRE ET PERMIEN, 12, Buenos Aires, 1991. *Comptes Rendus....v.1*, p. 187-200.
- VOLKHEIMER, W.; MELENDI, D.L.; SALAS, A.A. 1986. Devonian Chitinozoans from Northwestern Argentina. *Neues Jahrbuch für Geologie und Paläontologie Abh.*, 173 (2): 229-251.
- WINDLE, T.M.F. 1979. Reworked Carboniferous Spores: an Example from the Lower Jurassic of Northeast Scotland. *Review of Palaeobotany and Palynology*, 27: 173-184.
- WOOD, G.D. 1984. A stratigraphic, Paleoenvironmental and Paleobiogeographic Review of the Acritharchs Umbellaspheeridium Deflandrei and Umbellaspheeridium Saharicum. In: INTERNATIONAL CONGRESS ON CARBONIFEROUS STRATIGRAPHY AND GEOLOGY, 9. *Compte Rendu...* v.2, p. 191-211.

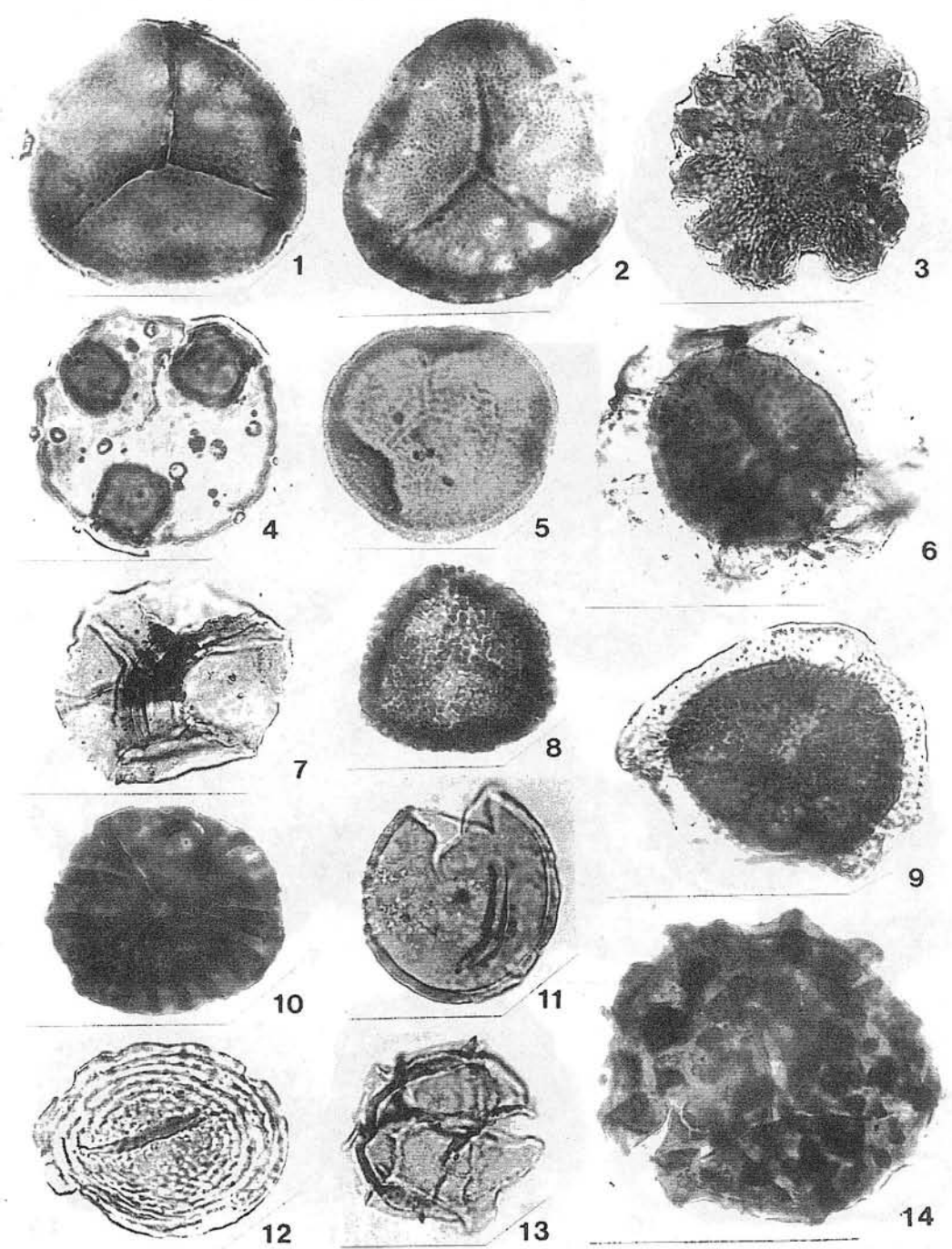


LÁMINA I - Asociación de palinomorfos redepositados (en el Grupo Mandiyutí) seleccionados del Devónico Medio - Tardío (Givetiano - Fameniano). Figuras 1, 2: *Geminospora lemurata* Balme, focos proximal y distal respectivamente, x1000, Figura 3: *Maranhites lobulatus* Burjack & Oliveira, x500, Figura 4: *Maranhites insulatus* Burjack & Oliveira, x500, Figura 5: *Apiculiretusispora brandtii* Streel, x1000, Figura 6: *Grandispora pseudoreticulata* (Menéndez & Pôthe de Baldis) Ottone, x500, Figura 7: *Arkonites bilixus* Legault, x500, Figura 8: *Acinosporites ledundae* Ottone, x750, Figura 9: *Samarisporites triangulatus* Allen, x1000, Figura 10: *Emphanisporites annulatus* McGregor, x1000, Figura 11: *Hemiruptia legaultii* Ottone, x1000, Figura 12: *Chomotriletes vedugensis* Naumova, x500, Figura 13: *Cymatiosphaera perimembrana* Staplin, x1000, Figura 14: *Verrucosporites scurrus* (Naumova) McGregor & Camfield, x1000.

PLATE I - Reworked (in the Mandiyutí Group) palynomorphs assemblage selected from Medium - Late Devonian. Figures 1, 2: *Geminospora lemurata* Balme, focus proximal y distal respectivamente, x1000, Figure 3: *Maranhites lobulatus* Burjack & Oliveira, x500, Figure 4: *Maranhites insulatus* Burjack & Oliveira, Figure 5: *Apiculiretusispora brandtii* Streel, x1000, Figure 6: *Grandispora pseudoreticulata* (Menéndez & Pôthe de Baldis) Ottone, x500, Figure 7: *Arkonites bilixus* Legault, x500, Figure 8: *Acinosporites ledundae* Ottone, x750, Figure 9: *Samarisporites triangulatus* Allen, x1000, Figura 10: *Emphanisporites annulatus* McGregor, x1000, Figure 11: *Hemiruptia legaultii* Ottone, x1000, Figure 12: *Chomotriletes vedugensis* Naumova, x500, Figura 13: *Cymatiosphaera perimembrana* Staplin, x1000, Figure 14: *Verrucosporites scurrus* (Naumova) McGregor & Camfield, x1000.

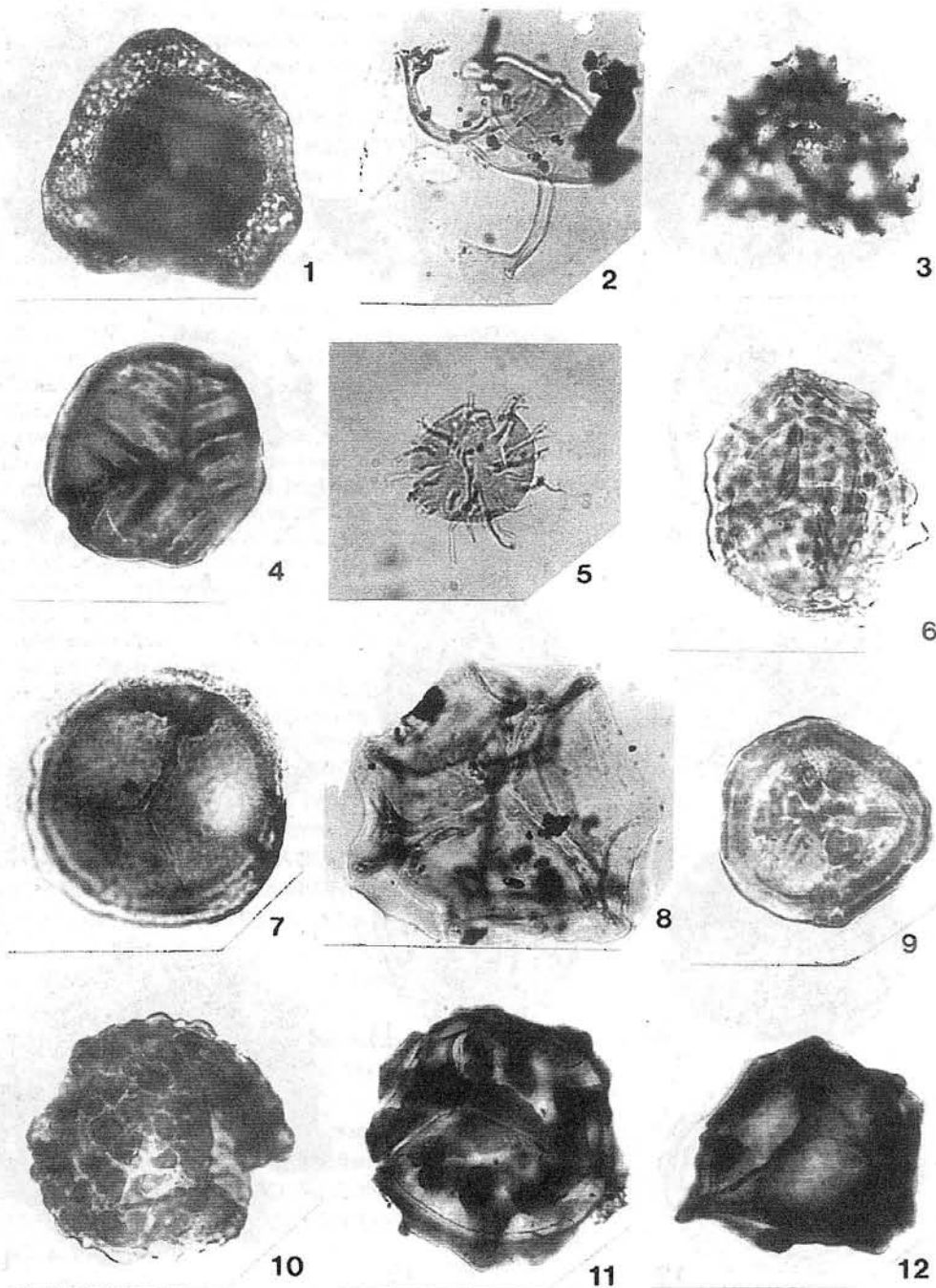


LÁMINA II - Asociaciones de palinomorfos redepositados (en el Grupo Mandiyutí) seleccionados del Devónico *cuspidal* (Struniano, Figuras 1-5) y del Carbonífero Temprano (Tournaisiano, Figuras 6-12).

Figura 1: *Retispora lepydophyta* (Kedo) Playford, x1000, Figura 2: *Umbellasphaeridium saharicum* Jardiné et al., x500, Figura 3: *Vallatisporites pusillites* (Kedo) Dolby & Neves, x750, Figura 4: *Emphanisporites hibernicus* Clayton, Higgs & Keegan, x1000, Figura 5: *Gorgonisphaeridium winslowiae* Staplin et al., x1000, Figura 6: *Cyrtospora cristifera* (Luber) emend. Van der Zwan, x1000, Figura 7: *Auroraspora macra* Sullivan, x1000, Figura 8: *Reticulatisporites labiatus* Ravn, x750, Figura 9: *Tumulispora rarituberculata* (Luber) Potonié, x1000, Figura 10: *Verrucosisporites nitidus* (Naumova) Playford, x1000, Figura 11: *Convolutispora circumvallata* Clayton, x750, Figura 12: *Knoxisporites heredatus* (Ishchenko) Playford, x750.

PLATE II - Reworked (in the Mandiyutí Group) palynomorphs assemblages selected from the top of the Devonian (Strunian, Figures 1-5) and the Early Carboniferous (Tournaisian, Figures 6-12).

Figure 1: *Retispora lepydophyta* (Kedo) Playford, x1000, Figure 2: *Umbellasphaeridium saharicum* Jardiné et al., x500, Figure 3: *Vallatisporites pusillites* (Kedo) Dolby & Neves, x750, Figure 4: *Emphanisporites hibernicus* Clayton, Higgs & Keegan, x1000, Figure 5: *Gorgonisphaeridium winslowiae* Staplin et al., x1000, Figure 6: *Cyrtospora cristifera* (Luber) emend. Van der Zwan, x1000, Figure 7: *Auroraspora macra* Sullivan, x1000, Figure 8: *Reticulatisporites labiatus* Ravn, x750, Figure 9: *Tumulispora rarituberculata* (Luber) Potonié, x1000, Figure 10: *Verrucosisporites nitidus* (Naumova) Playford, x1000, Figure 11: *Convolutispora circumvallata* Clayton, x750, Figure 12: *Knoxisporites heredatus* (Ishchenko) Playford, x750.

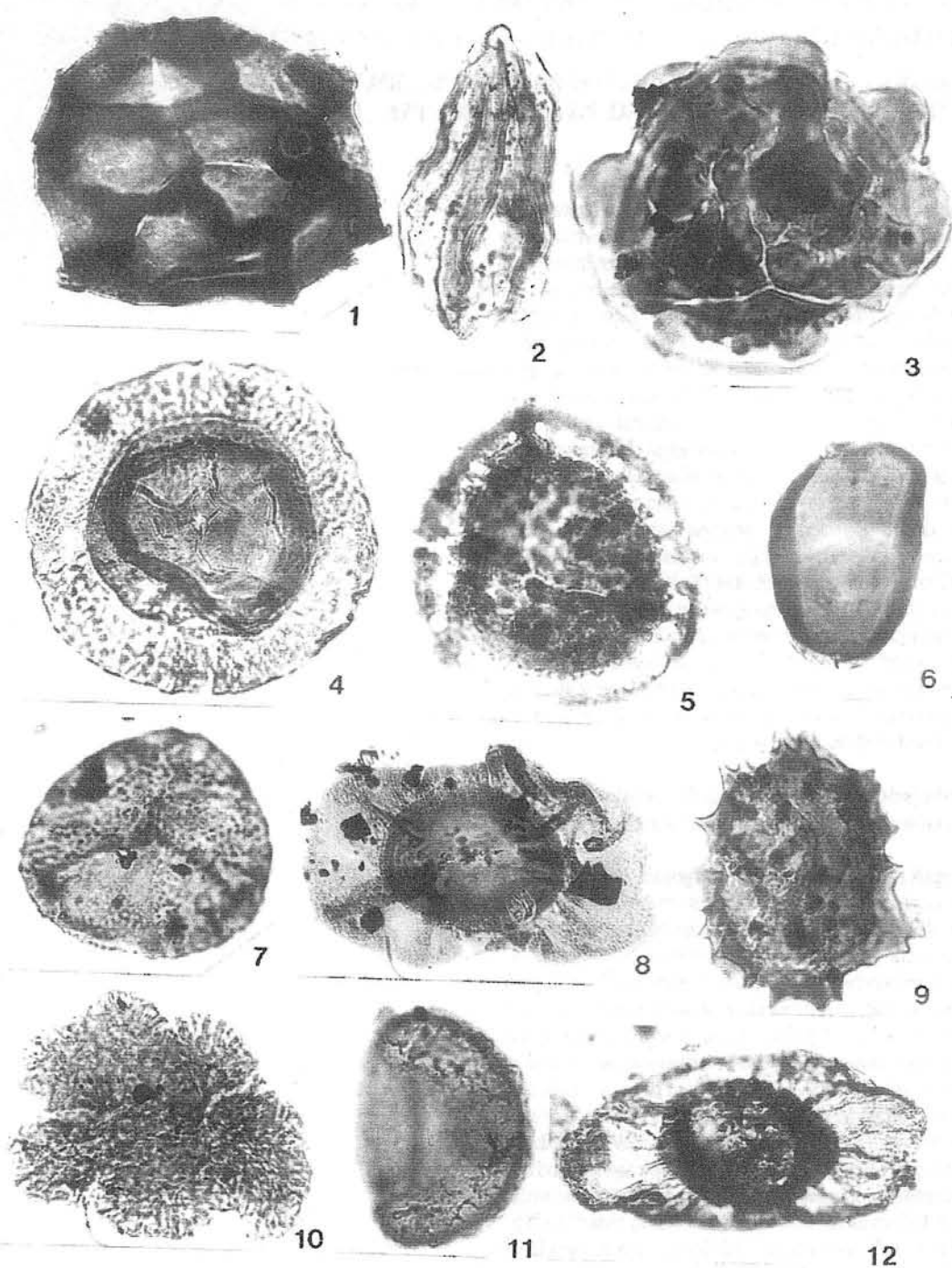


LÁMINA III - Asociación de palinomorfos autóctonos seleccionados del Carbonífero Tardío (Grupo Mandiyutí).

Figura 1: *Reticulatisporites reticulatus* (Ibrahim) Ibrahim, x750, Figura 2: *Equisetosporites argentinensis* Césari, x750, Figura 3: *Raistrickia paganciana* Azcuy, x1000, Figura 4: *Plicatipollenites malabarensis* (Potonié & Sah) Foster, x500, Figura 5: *Vallatisporites russoi* Archangelsky & Gamerro, x1000, Figura 6: *Marsupipollenites triradiatus* Balme & Hennelly, x750, Figura 7: *Granulatisporites varigranifer* Menéndez & Azcuy, x1000, Figura 8: *Caheniasaccites flavatus* Bose & Kar emend. Azcuy & di Pasquo, x500, Figura 9: *Spinozonotrites hirsutus* Azcuy, x1000, Figura 10: *Botryococcus braunii* Kützing, x1000, Figura 11: *Thymospora pseudothiessenii* (Kosanke; Wilson & Venkatachala 1963) Alpern & Doubinger, x1000, Figura 12: *Potonieisporites brasiliensis* (Nahuys, Alpern & Ybert) Archangelsky & Gamerro, x500.

PLATE III - Indigenous palynomorphs assemblage selected from the Late Carboniferous (Mandiyutí Group).

Figure 1: *Reticulatisporites reticulatus* (Ibrahim) Ibrahim, x750, Figure 2: *Equisetosporites argentinensis* Césari, x750, Figure 3: *Raistrickia paganciana* Azcuy, x1000, Figure 4: *Plicatipollenites malabarensis* (Potonié & Sah) Foster, x500, Figure 5: *Vallatisporites russoi* Archangelsky & Gamerro, x1000, Figure 6: *Marsupipollenites triradiatus* Balme & Hennelly, x750, Figure 7: *Granulatisporites varigranifer* Menéndez & Azcuy, x1000, Figure 8: *Caheniasaccites flavatus* Bose & Kar emend. Azcuy & di Pasquo, x500, Figure 9: *Spinozonotrites hirsutus* Azcuy, x1000, Figure 10: *Botryococcus braunii* Kützing, x1000, Figure 11: *Thymospora pseudothiessenii* (Kosanke; Wilson & Venkatachala 1963) Alpern & Doubinger, x1000, Figure 12: *Potonieisporites brasiliensis* (Nahuys, Alpern & Ybert) Archangelsky & Gamerro, x500.